

A Case of the 10 days

Case 368

多発骨髓腫あるいは再生骨髓

椎体SOL病変：MRI, CT

血管腫

圧迫骨折

転移性骨腫瘍：造骨性、溶骨性

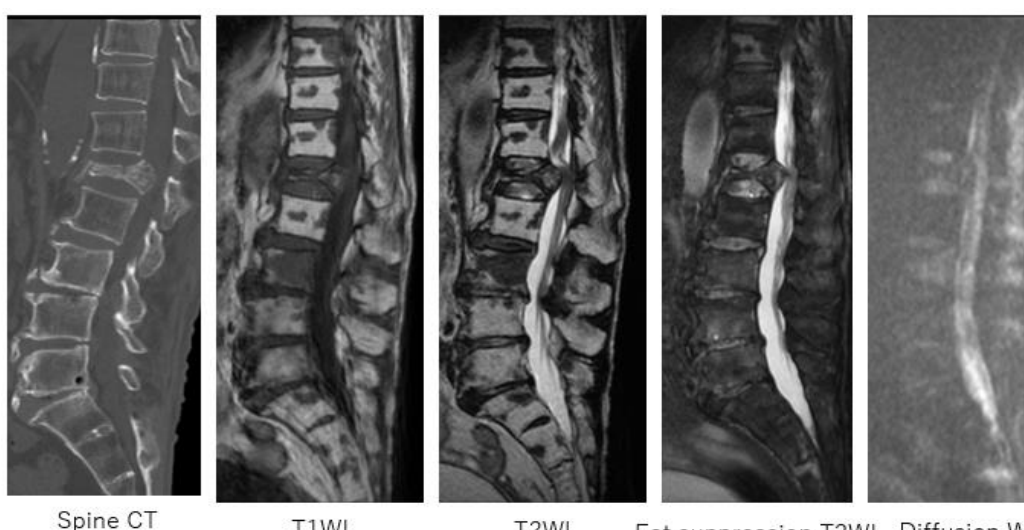
椎体膿瘍(化膿性脊椎炎)

骨髓腫 白血病

再生骨髓

70代 男性

- Reconversion bone marrow
- Multiple myeloma leukemia



L1椎体の圧迫骨折がみられる。脊髓遠位端や馬尾を圧排している。

椎体にT1WI,T2WIで高信号域内に低信号SOLがみられる。

Diffusion WIでは周囲と比べてやや高信号となっている。



T1WI T2WI Fat suppression T2WI Diffusion WI ADC

椎体内のSOLはT1WI、T2WIで低信号、背景はT1WI,T2WIで高信号、脂肪抑制T2WIでは両者ともに低信号で不鮮明化している。Diffusion WIではT1WI、T2WIで低信号SOL(再生骨髓)は周囲と比べてやや高信号(脂肪髄)となっている。

化膿性脊椎炎

腰椎CT 矢状断像

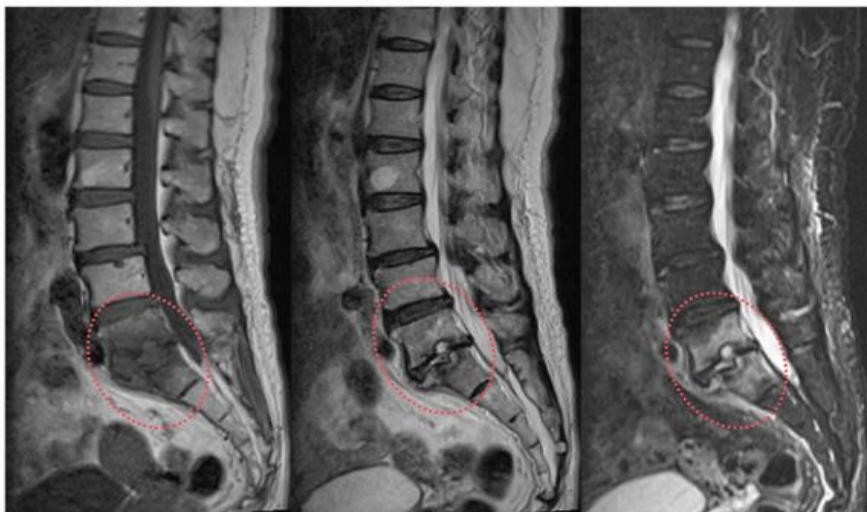


椎間板を中心として炎症性病変が椎体に及ぶproteaseなどによる炎症性破壊。

T1強調像

T2強調像

STIR



炎症による浮腫性変化、膿瘍形成が画像の主体。
圧迫骨折と同様にT1WIで低信号、T2WIで高信号。

転移性脊椎腫瘍と圧迫骨折

HCC
由来



T1WI



脂肪抑制T2WI

化膿性脊椎炎
転移性骨腫瘍
圧迫骨折

T1WI：低信号

T2WI：高信号

脂肪抑制T2WI：高信号

同様の画像パターン

前立腺がんの骨転移



CTで矢頭高吸收、
造骨性転移

T1WIで矢頭 低吸收

T2WIで矢頭 低吸收

腫瘍は浮腫性でも造骨性で
あるため T1WI, T2WI
共に低信号

T1WI ↓ T2WI ↓ . . .
造骨型（前立腺癌、乳癌）

Showing apparent diffusion coefficient (ADC) values in different benign and malignant pathologies

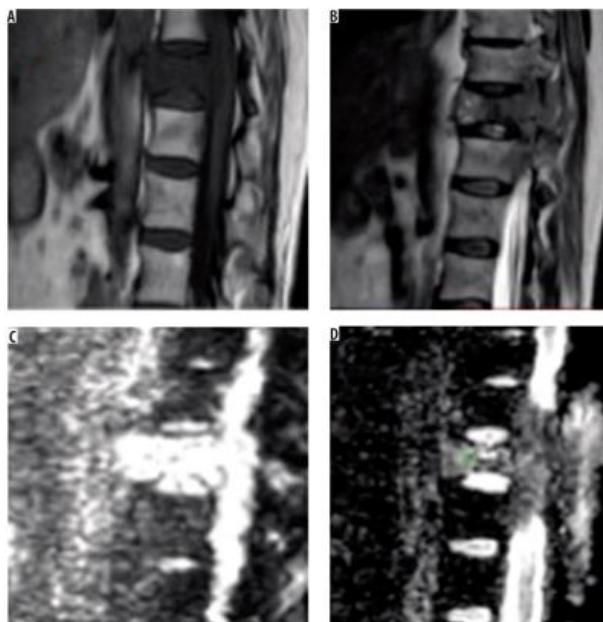
Lesions	Number	Mean ADC value (in mm ² /sec)		P- value
		Normal	Diseased	
Benign				
Haemangiomas	16	0.36 ± 0.13	1.82 ± 0.17	0.0001
Benign collapse	16	0.42 ± 0.12	1.94 ± 0.18	0.0001
Infections				
Pyogenic	13	0.40 ± 0.11	1.47 ± 0.22	0.0001
Tuberculosis	20	0.37 ± 0.14	1.42 ± 0.31	0.0001
MALIGNANT				
Metastases	24	0.39 ± 0.14	0.69 ± 0.18	0.0001
Primary neoplasm	11	0.41 ± 0.11	0.69 ± 0.12	0.0001

[Kaur A et al.](#) Role of diffusion-weighted magnetic resonance imaging in the evaluation of vertebral bone marrow lesions
[Pol J Radiol.](#) 2020; 85: e215–e223.

悪性と良性のCutoff値は 1.21

転移性骨腫瘍と圧迫骨折

- vertebral metastases (0.69×10^{-3} mm²/sec)
- benign compression fractures (1.62×10^{-3} mm²/sec)
- Herneth AM, et al. **Vertebral metastases: assessment with apparent diffusion coefficient** Radiology. 2002 Dec;225(3):889-94.



50代 乳がん患者 骨転移

腰痛

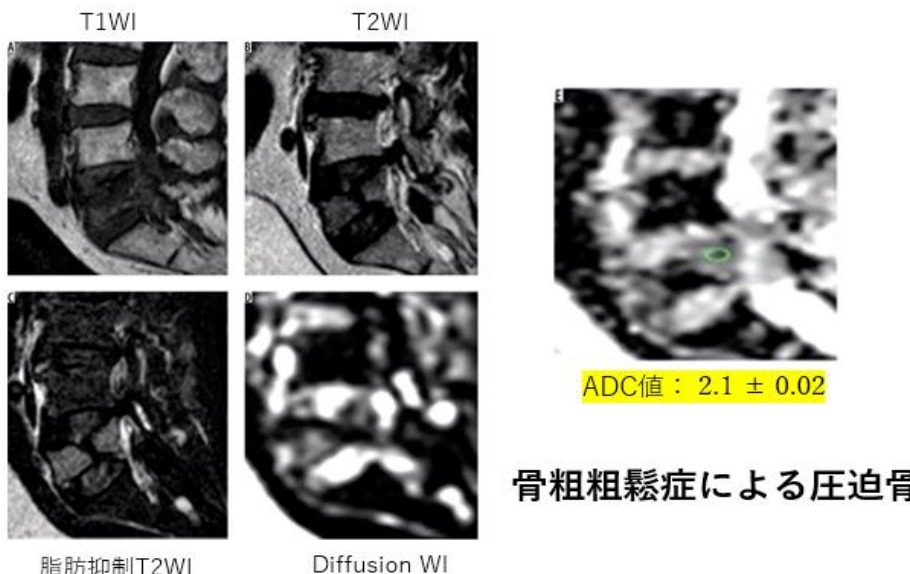
T1WI : 低信号

T2WI : 高信号と低信号

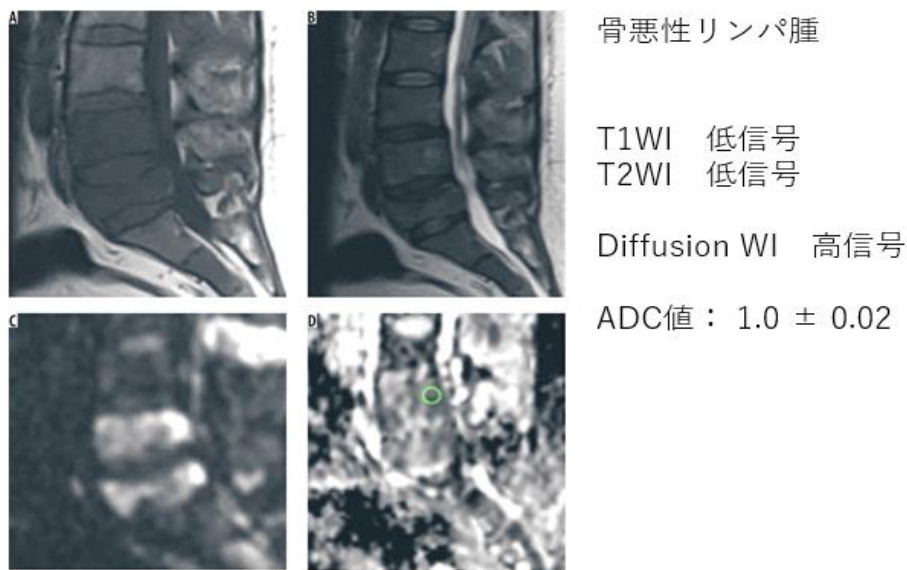
Diffusion WI : 高信号

ADC値 : 0.8 +/- 0.02

正常椎体ADC: 0.30~0.60



骨粗鬆症による圧迫骨折



Correlation between ADC value and proportion of bone marrow plasma cell infiltration in MM patients of different genders.

ADC = apparent diffusion coefficient, MM = multiple myeloma.

Statistically significant.

Subjects	ADC value ($\times 10^{-3}$ mm 2 /s)	Plasma cell infiltration (%)	r	P value
All	0.6157 (0.4504–0.7992)	54.00 (33.23–73.29)	-0.843	<.001*
Male	0.6004 (0.4539–0.7887)	51.50 (34.75–75.70)	-0.849	<.001*
Female	0.6953 (0.4503–0.8392)	56.00 (30.35–70.00)	-0.836	<.001*

Wang J, et al. Role of whole-body diffusion-weighted imaging in evaluation of multiple myeloma. *Medicine (Baltimore)*. 2021 Sep 3; 100(35): e27131

Showing cut-off apparent diffusion coefficient (ADC) value and ADC values in different
脊椎病変の良悪のCutoff
 vertebral lesions

ADC値は1.21

脊椎のADC値は
0.30~0.60

Cut-off value for mean ADC	No. of malignant	No. of benign
	cases	cases
$1.21 \times 10^{-3} \text{ mm}^2/\text{s}$ or lower	35	5
Over $1.21 \times 10^{-3} \text{ mm}^2/\text{s}$	0	60
Total	35	65

多発骨髓腫

骨髓にBリンパ球由来のプラズマ細胞の増殖

MRI: 細胞密度が高いため周囲骨髓より低信号化



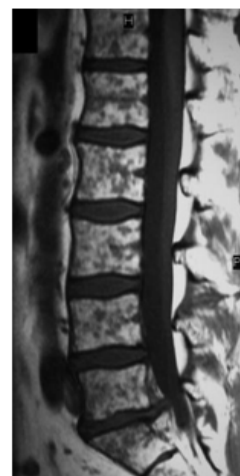
骨髓MRI

赤色髓 : T1WI, T2WI で低信号

脂肪髓 : T1WI, T2WI で高信号

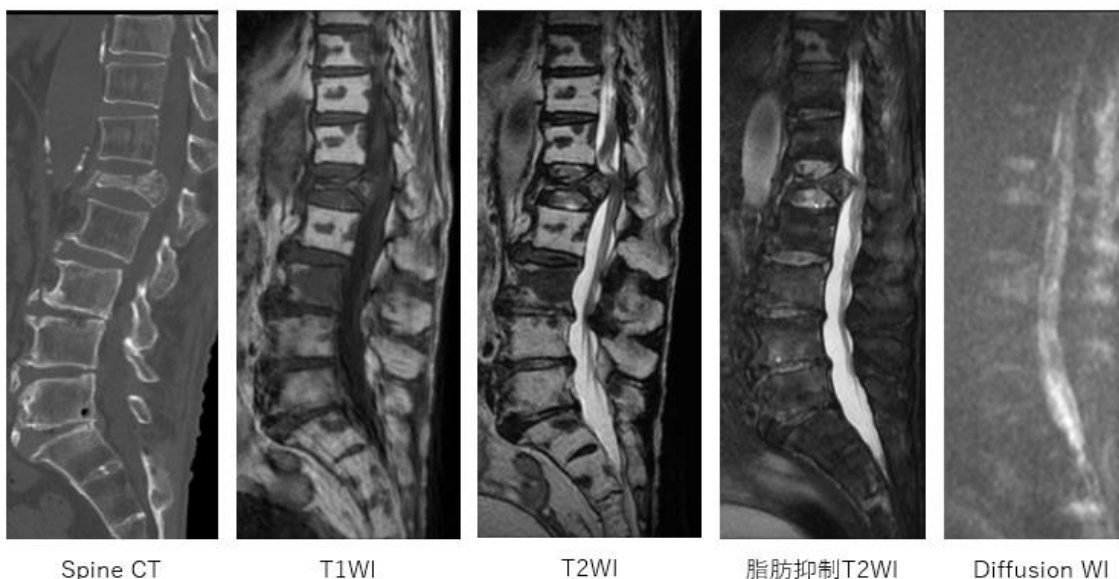
再赤色髓 : 高信号内に低信号
 (bone marrow reconversion)

他のすべての骨由来病変が除外され、悪性病変を有していないときに診断される。



本症例の骨SOL

- CTでは特記すべき異常は認めず
- T1WIで低信号 脂肪抑制T2WIで低信号
- Diffusion WIでほぼ等信号からやや高信号
- 多発骨髓腫を含む血液疾患(骨髄細胞の増殖)、或いは再生骨髓



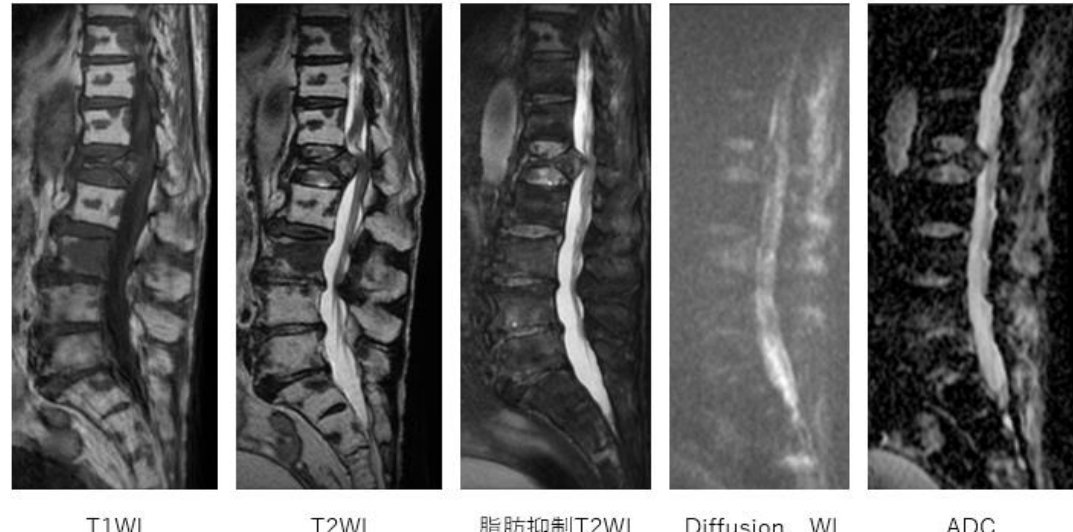
Spine CT

T1WI

T2WI

脂肪抑制T2WI

Diffusion WI



T1WI

T2WI

脂肪抑制T2WI

Diffusion WI

ADC

[English page](#)

2024.12.27